

تأثير محتوى الجبس في منحنى الوصف الرطوبي والإيصالية المائية غير المشبعة في التربة

نمير طه مهدي

قسم علوم التربة والمياه – كلية الزراعة – جامعة بغداد

المستخلص

أجريت تجربة في المختبر لدراسة بعض الخصائص المائية، كمنحنى الوصف الرطوبي والسعة المائية النوعية للتربة والإيصالية المائية، لتربة ذات محتوى جبسي مختلف بلغ مداه من 5 إلى 502 غم جبس. كغم⁻¹ تربة، تحت لثروف غير مشبعة، ولغدى رطوبي واسع مداه الممتد للمستوى الرطوبي الحجمي المتبقي θ عند جهد ماء التربة 1500 كيلوباسكال وصولاً إلى أعلى محتوى رطوبي θ عند حالة الإشباع. قدر منحنى الوصف الرطوبي للتربة، واستعملت معادلة van Genuchten (32) لوصف البيانات التجريبية للمنحنى رياضياً، واستخرجت معايير المعادلة α و n و m . ومن ثم حسبت الإيصالية المائية غير المشبعة من قيم الجهود المائية المسلطة وقيم معايير المعادلة بتطبيق معادلة التكامل المغلق المقترحة من قبل van Genuchten (32). أظهرت النتائج أن المحتوى الرطوبي الحجمي للتربة قد اختلف باختلاف محتوى التربة من الجبس عند كل جهد مائي مسلط عليها، فعند جهد ماء التربة 0.1 كيلوباسكال، ازداد المحتوى الرطوبي الحجمي المشبع من 0.442 إلى 0.501 سم³.سم⁻³ عند زيادة محتوى الجبس في التربة من 32 إلى 502 غم جبس.كغم⁻¹ تربة. أما في حالة جهد ماء التربة 1500 كيلوباسكال فقد انخفض المحتوى الرطوبي الحجمي المتبقي من 0.255 إلى 0.089 سم³.سم⁻³ عند زيادة محتوى الجبس في التربة من 64 إلى 502 غم جبس.كغم⁻¹ تربة. إن تأثير هذه المتغيرات انعكس على حساب الإيصالية المائية غير المشبعة، إذ ازدادت قيم الإيصالية المائية غير المشبعة من 1.29×10^{-4} إلى 2.29×10^{-2} سم.دقيقة⁻¹ عند زيادة المحتوى الجبسي من 5 إلى 502 غم جبس.كغم⁻¹ تربة، عند مستويات المحتوى الرطوبي العالي، في حين انخفضت قيم الإيصالية المائية غير المشبعة من 4.94×10^{-8} إلى 6.36×10^{-11} سم.دقيقة⁻¹ عند زيادة المحتوى الجبسي من 64 إلى 502 غم جبس.كغم⁻¹ تربة عند مستويات المحتوى الرطوبي المتبقي.

The Iraqi Journal of Agricultural Science 39 (3) : 10-23 (2008)

Mahdi

EFFECT OF GYPSUM CONTENT ON SOIL – WATER CHARACTERISTIC CURVE AND UNSATURATED HYDRAULIC CONDUCTIVITY IN SOIL

N. T. Mahdi

Dept. of Soil and Water Sciences – College of Agriculture – University of Baghdad

ABSTRACT

A laboratory experiment was conducted to study some hydraulic properties such as soil-water characteristic curve, specific water capacity and hydraulic conductivity, for a soil containing 5 to 502 g gypsum.kg⁻¹ soil, for wide range of water content from residual water content θ , at soil-water potential 1500 kPa to the saturated conditions θ_s . The soil-water characteristic curve was estimated, and the equation of van Genuchten (32) was used to determine the best-fit parameters α , n and m for experimental data of soil-water characteristic curve. Unsaturated hydraulic conductivity was calculated from the values of soil-water potential and the values of α , n , and m , by using a closed-form integral equation which it is suggested by van Genuchten (32). The results showed that volumetric water content were changed with gypsum content changing under each different water potential. At soil-water potential 0.1 kPa the saturated water content was increased from 0.442 to the 0.501 cm³.cm⁻³ when gypsum content was increased from 32 to the 502 g gypsum.kg⁻¹ soil. But at soil-water potential 1500 kPa the residual water content was decreased from 0.255 to the 0.089 cm³.cm⁻³ with increasing gypsum content from 64 to the 502 g gypsum.kg⁻¹ soil. The effect of these variations reflected on the calculated values of unsaturated hydraulic conductivity. The values of unsaturated hydraulic conductivity were increased from 1.29×10^{-4} to the 2.29×10^{-2} cm.min⁻¹ with increasing gypsum content from 5 to the 502 g gypsum.kg⁻¹ soil, at high water content. But at residual water content ($\theta = \theta_r$) the values of unsaturated hydraulic conductivity were decreased from 4.94×10^{-8} to the 6.36×10^{-11} cm.min⁻¹ with increasing gypsum content from 64 to the 502 g gypsum.kg⁻¹ soil.

المقدمة

الحجمي لمسامات التربة التي تفقد الماء أو تحتفظ به على حد سواء عند جهود مائية مختلفة، وكمية الماء الجاهزة للاستهلاك المائي من قبل النبات، فضلاً عن درجة الإشباع والكثافة الظاهرية للتربة والمسامية الكلية وغيرها من الخصائص المهمة في علم التربة (19 و 35). إن تقدير منحني الوصف الرطوبي في المختبر يعد من القياسات المهمة والذي يتطلب إمكانات وجهد ووقت. اقترح العديد من الباحثين وصف المنحني رياضياً باستعمال معادلات غير خطية Nonlinear ذات معايير تجريبية empirical، واسنعت الحواسيب والبرامجيات لتمثيل المنحني بأقل فرق معنوي وبأفضل تطابق best fit بين بيانات المنحني التجريبية والبيانات المحسوبة من هذه المعادلات (22 و 30).

عرفت العلاقة بين المحتوى الرطوبي للتربة وجهد الماء ψ ، بمنحني الوصف الرطوبي. ويقصد بالمحتوى الرطوبي هو كمية الماء الموجودة في الحيز المسامي للتربة. ويفضل من الناحية التطبيقية أن يعبر عن المحتوى الرطوبي، كمحتوى رطوبي حجمي Θ (18 و 33). يعد منحني الوصف الرطوبي احد أهم العلاقات المائية للتربة، فمن خلاله يمكن تقدير خصائص مختلفة مهمة للعلاقة بين الماء والتربة، منها وهي الأهم وصف سلوك التربة تحت ظروف مائية غير مشبعة والتي تمثل الظروف الطبيعية لنمو اغلب النباتات في التربة (20 و 35). كثيراً ما تستعمل العلاقة بين Θ و ψ لتقدير معايير فيزيائية ورياضية بهدف وصف كل من جريان الماء غير المشبع، والإيصالية المائية غير المشبعة، والتوزيع

وضع van Genuchten (32) معادلة رياضية بسيطة لوصف بيانات منحني الوصف الرطوبي ذات الصيغة الآتية:

$$\Theta = \left[\frac{1}{1 + (\alpha\psi)^n} \right]^m \quad [1]$$

يمثل Θ المحتوى الرطوبي النسبي والذي يساوي:

$$\Theta = \frac{\theta - \theta_r}{\theta_s - \theta_r} \quad [2]$$

توصل van Genuchten (32) من اشتقاق المعادلة 1 وبالاستناد إلى أسس النموذج الرياضي المقدم من قبل Mualem (29) إلى معادلة تكامل مغلق لحساب الإيصالية المائية غير المشبعة للتربة، وبذلك استفاد الباحث من بيانات منحني الوصف الرطوبي في حساب الإيصالية المائية للتربة كدالة لجهد الماء $K_r(\psi)$. إذ قام بحساب الإيصالية المائية النسبية $K_r(\psi)$ بتطبيق المعادلة الآتية:

إذ أن: θ_r = المحتوى الرطوبي الحجمي المتبقي (سم³/سم³).
 θ_s = المحتوى الرطوبي الحجمي عند الإشباع (سم³/سم³).
 ψ = جهد الماء (كيلوباسكال). و θ = المحتوى الرطوبي الحجمي عند أي قيمة من قيم جهد الماء (سم³/سم³). و α و n و m = ثوابت تجريبية. أظهرت هذه المعادلة مرونة عالية في تمثيل بيانات منحني الوصف الرطوبي وأعطت مطابقة جيدة بين البيانات التجريبية والبيانات المحسوبة.

$$K_r(\psi) = \frac{\left\{ 1 - (\alpha\psi)^{n-1} \left[1 + (\alpha\psi)^n \right]^{-m} \right\}^2}{\left[1 + (\alpha\psi)^n \right]^{m/2}} \quad [3]$$

إذ ان العلاقة بين الثابتين n و m وفق الآتي:

$$m = 1 - \frac{1}{n} \quad [4]$$

وقيم الايصالية المائية المشبعة K_s ، بتطبيق المعادلة التي وردت في van Genuchten (32) الآتية :

$$K(\psi) = K_r(\psi) \times K_s$$

إن هدف هذا البحث هو دراسة بعض الخصائص المائية للتربة تحت ظروف غير مشبعة ومن ثم تقويم هذه الخصائص تحت تأثير محتوى مختلف من الجبس، وتأثير جهد مائي مختلف، ولمدى رطوبي واسع، من المحتوى الرطوبي المتبقي عند جهد ماء التربة 1500 كيلوباسكال إلى المحتوى الرطوبي عند الإشباع.

المواد وطرائق العمل

استعملت في التجربة عينات تربة جبسية جلبت من الحقل المخصص لمركز بحوث الترب الجبسية في قضاء الدور. جمعت عينات التربة من الأفق Ap السطحي غير الجبسي (0-20 سم)، والأفق C_1 الجبسي (20-40 سم). جففت التربة هوائياً، ومزجت عينات كل أفق بشكل منفرد ثم طحنت ومررت من منخل قطر فتحاته 2 ملم. تم تعيين نسجة التربة بطريقة الماصة (21) بعد إزالة الجبس بالغسل. كما حددت بعض الصفات الكيميائية لمادة التربة بضوء الطرائق المقترحة من قبل مختبر الملوحة الأمريكي (31) وبيين جدول 1 نتائج التحليل لعينات التربة المستعملة في الدراسة.

احتسبت قيم الايصالية المائية غير المشبعة كدالة للجهد المائي $K_r(\psi)$ من قيم الايصالية المائية النسبية غير المشبعة $K_r(\psi)$ [5]

جرت محاولات عديدة لتطبيق هذه المفاهيم في حساب الايصالية المائية غير المشبعة لتراب ذات محتوى مختلف من الجبس. فقد اعتمد سليمان وآخرون (7) في تقدير الايصالية المائية غير المشبعة قيم ميل منحنى الوصف الرطوبي وقيم انتشارية ماء التربة المقدرة بطريقة Arya وآخرون (14). وقام شهاب (8) بحساب الايصالية المائية غير المشبعة من بيانات منحنى الوصف الرطوبي بتطبيق معادلة Jackson (25). بينما احتسب الخطيب (3) الايصالية المائية غير المشبعة من قيم ميل منحنى الوصف الرطوبي وقيم انتشارية الماء المقدرة بطريقة Bruce و Klute (17)، بعد أن درس جريان الماء أفقياً في أعمدة تربة ذات محتوى جبسي مختلف. أما في هذه الدراسة فقد اعتمدت طريقة معادلة التكامل المغلق لحساب الايصالية المائية غير المشبعة للتربة (معادلة 3) بالاستناد إلى بيانات منحنى الوصف الرطوبي ومعايير معادلة van Genuchten (32)، (معادلة 1)، لعينات تربة ذات مدى واسع من المحتوى الجبسي. لقد أكد كل من حسن (6) و القرني (4) أن هذه الطريقة سريعة ودقيقة وتكون نتاجها مقارنة من نتائج الطرق السابقة الذكر لحساب الايصالية المائية غير المشبعة.

جدول 1. بعض الخصائص الفيزيائية والكيميائية للتربة الجبسية المستعملة في الدراسة.

الافق السطحي Ap	الافق الجبسي C_1	خصائص التربة
5	502	الجبس (غم.كغم ⁻¹)
321	679	الرمل (غم.كغم ⁻¹)
395	260	الغرين (غم.كغم ⁻¹)
284	61	الطين (غم.كغم ⁻¹)
Clay loam	Sandy loam	صنف نسجة التربة
1.45	1.22	الكثافة الظاهرية للتربة (ميكراغرام. م ⁻³)
2.65	2.39	كثافة التربة الحقيقية (ميكراغرام. م ⁻³)
264.0	190.0	كاربونات الكالسيوم (غم.كغم ⁻¹)
2.47	2.83	الايصالية الكهربائية (EC)، ديسيمنز.متر ⁻¹
7.53	7.69	الأس الهيدروجيني pH

15.6	23.3	السعة التبادلية للأيونات الموجب (سنتمول.كغم ⁻¹)
0.7	6.3	المادة العضوية (غم.كغم ⁻¹)

حضرت عينات مختلفة بمحتواها من الجبس عن طريق خلط تربة الأقفين أعلاه للحصول على عينات تحتوي على نسب بلغت 5 و 32 و 64 و 125 و 255 و 502 غم

جدول 2. بعض الخصائص الفيزيائية والكيميائية لعينات التربة التي تم تحضيرها.

ترب ذات محتوى جبسي مختلف				خصائص التربة
255	125	64	32	الجبس (غم.كغم ⁻¹)
588	522	443	401	الرمل (غم.كغم ⁻¹)
307	335	375	394	الغرين (غم.كغم ⁻¹)
105	143	182	205	الطين (غم.كغم ⁻¹)
Sandy loam	Loam	Loam	Loam	صنف نسجة التربة
1.32	1.39	1.44	1.49	الكثافة الظاهرية للتربة (ميكاغرام. م ⁻³)
2.54	2.59	2.60	2.63	كثافة التربة الحقيقية (ميكاغرام. م ⁻³)
197	203	221	247	كربونات الكالسيوم (غم.كغم ⁻¹)
2.74	2.61	2.54	2.49	الإيصالية الكهربائية (EC)، ديسيمنز.متر ⁻¹
7.66	7.63	7.59	7.56	الأس الهيدروجيني pH
17.3	20.7	22.6	23.0	السعة التبادلية للأيونات الموجب (سنتمول.كغم ⁻¹)
1.7	2.3	6.0	6.1	المادة العضوية (غم.كغم ⁻¹)

الموصوفة في (16). كما قيست الإيصالية المائية المشبعة لهذه التربة بطريقة عمود الماء الثابت (26)، بأخذ عينات تربة بواسطة اسطوانات معدنية أخرى لها نفس أبعاد الاسطوانات السابقة الذكر. ربطت عينات التربة الموجودة داخل الاسطوانات بالخاصية الشعرية باستعمال ماء مقطر حتى الإشباع، ثم سلط عمود ماء ثابت مقداره 1 سم وقيست الإيصالية المائية المشبعة. حسبت الإيصالية المائية المشبعة بتطبيق قانون دارسي Darcy وكما في المعادلة الآتية:

$$K_s = \left(\frac{VL}{At \Delta h} \right)$$

و t الزمن (T)، و L طول عمود التربة (L)، و Δh فرق العمود الهيدروليكي بين نقطة دخول الماء ونقطة خروجه (L).

أخذ كغم واحد من كل عينة ووضع في إناء مصنوع من مادة البولي إثيلين، وأضيف ماء مقطر إلى العينات بنسبة 2 : 1 ماء-تربة. مزج الخليط بقضيب زجاجي مرتين يومياً ولمدة ست أيام، بعد ذلك جففت التربة بالفرن في درجة حرارة 45 °م ولمدة 48 ساعة (13). قيست الكثافة الظاهرية لعينات التربة هذه بطريقة الاسطوانة المعدنية (15)، باستعمال اسطوانات معدنية بقطر 5 سم وطول 5 سم وبثلاثة مكررات. قدرت الكثافة الحقيقية لعينات التربة بطريقة البكنوميتر

[6]

إذ أن K_s الإيصالية المائية المشبعة $\left(\frac{L}{T} \right)$ ، و V حجم الماء المتدفق (L^3) ، و A مساحة المقطع العرضي للتربة (L^2) ،

تحديدًا مسبقاً. رطبت أعمدة التربة بالخاصية الشعرية باستعمال ماء مقطر مغلي ومبرد. قطعت الأعمدة بواسطة آلة حادة وأخذت الحلقات وسلطت عليها جهود مختلفة بين 0.1 و 1500 كيلوباسكال بعد أن شبت التربة بالماء لمدة 24 ساعة. استعمل جهاز Sintered - Glass Funnel للجهود 0.1 و 2.5 و 5 كيلوباسكال، وجهاز أفراس الضغط للجهود 10 و 20 و 33 و 50 و 100 و 1000 و 1500 كيلوباسكال.

اجري تطابق fitting معادلة van Genuchten (32) لبيانات منحنيات الوصف الرطوبي ووصفت العلاقة بين θ و ψ باستعمال الآتية :

$$\theta = \theta_r + (\theta_s - \theta_r) \left[1 + (\alpha \psi)^n \right]^{-m} \quad [7]$$

انحدار خط مستقيم من الدرجة الأولى وبمعامل ارتباط (r) 0.9766.

يبين شكل 2 العلاقة بين محتوى الجبس والمسامية الكلية للتربة (f)، إذ أن المسامية الكلية للتربة ازدادت مع زيادة محتوى الجبس فيها، فقد ازدادت المسامية من 0.43 إلى 0.49 سم³ سم⁻³ عند زيادة محتوى الجبس من 32 إلى 502 غم جبس.كغم⁻¹ تربة، أي حصلت زيادة في مسامية التربة بنسبة مقدارها 13.95% واتبع علاقة طردية ايجابية ذات معادلة متعددة الحدود من الدرجة الثانية وبمعامل تحديد $(R^2) = 0.8391$. لقد جاءت هذه النتائج متوافقة مع شهاب (8) ، لكنها اختلفت مع كل من الجبوري (1) والخطيب (3) إذ حصل الباحث الأول على اختلاف في قيم الكثافة الظاهرية مع المحتوى الجبسي، أما تباحث الثاني فقد انخفضت قيم الكثافة الظاهرية مع زيادة محتوى الجبس وبشكل متوافق.

أظهرت عينة التربة ذات المحتوى الجبسي الأقل (5) غم جبس.كغم⁻¹ تربة قيمة منخفضة في كثافتها الظاهرية (شكل 1)، وقيمة مرتفعة في مساميتها الكلية (شكل 2)، مقارنة مع نموذجي التربة ذات المحتوى المنخفض من الجبس (32) و 64 غم جبس.كغم⁻¹ تربة، إن السبب في ذلك قد

قدرت العلاقة بين المحتوى الرطوبي الحجمي والجهود المائي لعينات التربة ذات المحتوى الجبسي المختلف وهي بنفس الكثافة الظاهرية التي تم قياسها مسبقاً. إذ حضرت أعمدة بلاستيكية مكونة من حلقات بقطر 5 سم وارتفاع 1 سم وبسمك 0.2 سم، ربطت الحلقات بعضها ببعض بشريط لاصق شفاف وجمعت كل 20 حلقة في عمود واحد. تم تحضير ست أعمدة يتكون كل عمود من 20 حلقة وبطول إجمالي 20 سم. أغلقت إحدى نهايتي العمود بورق ترشيح ومشبك سلكي واحكم الربط جيداً. عُبئت الأعمدة بعينات التربة المجففة بعد أن طحنت ونخلت بمنخل 2 ملم. تم تحديد كتلة التربة اللازمة لملئ الحجم المحدد من العمود بحيث تم الحصول على كثافة ظاهرية مساوية للكثافة الظاهرية التي تم

استخرجت قيم الثوابت α و n و m بعد أن تم حل معادلة Statistica (non-linear regression fitting) ، المشار له في (4 و 10).

قدرت الايصالية المائبة غير المشبعة من بيانات العلاقة بين المحتوى الرطوبي الحجمي θ والجهود المائي ψ . إذ استعملت قيم الجهود المائي ψ وقيم الثوابت α و n و m المستخرجة من مطابقة معادلة 7 لحساب الايصالية المائبة النسبية غير المشبعة $K_r(\psi)$ ، بتطبيق المعادلة 3. ثم استعملت قيم $K_r(\psi)$ وقيم الايصالية المائبة المشبعة K_s في حساب الايصالية المائبة غير المشبعة كدالة للجهود المائي $K(\psi)$ بتطبيق المعادلة 5.

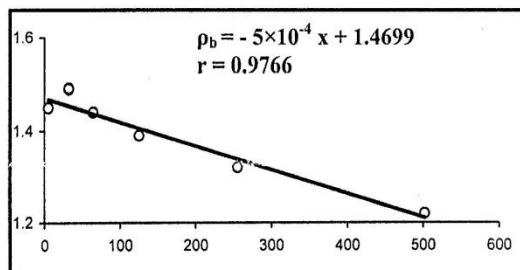
النتائج والمناقشة

يبين شكل 1 العلاقة بين محتوى الجبس في التربة وقيم الكثافة الظاهرية (ρ_b). اظهر الشكل أن قيم الكثافة الظاهرية قد انخفضت مع زيادة محتوى الجبس، إذ أدت زيادة محتوى الجبس من 32 إلى 502 غم جبس.كغم⁻¹ تربة إلى انخفاض في قيم الكثافة الظاهرية من 1.49 إلى 1.22 ميكاغرام.م⁻³، أي انخفضت كثافة التربة الظاهرية بنسبة 18.12%، واطهر تحليل الانحدار أن العلاقة بينهما علاقة

من محتواها طين زائداً غرين، مما اثر على طبيعة تجمع دقائق التربة أثناء مرحلة تجفيف العينات عند التحضير فانخفضت كثافتها الظاهرية (24 و 28).

يعزى إلى زيادة محتوى هذا النموذج من الطين والغرين (جدول 1 و 2) مقارنة مع العينات الأخرى الأمر الذي أدى، أن يكون التوزيع الحجمي لمفصولات التربة، للدقائق ذات الحجم اقل من 50 مايكرومتر أكثر وبنسبة تصل إلى 70%

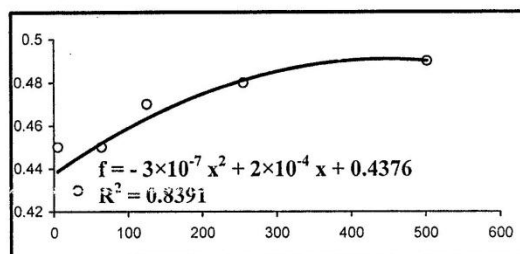
الكثافة الظاهرية (ρ_b)، بخانغرام م⁻³



محتوى الجبس ، غم. كغم⁻¹

شكل 1. العلاقة بين محتوى الجبس في التربة والكثافة الظاهرية (ρ_b)

المسامية الكلية للتربة (f)، سم³ . سم⁻³



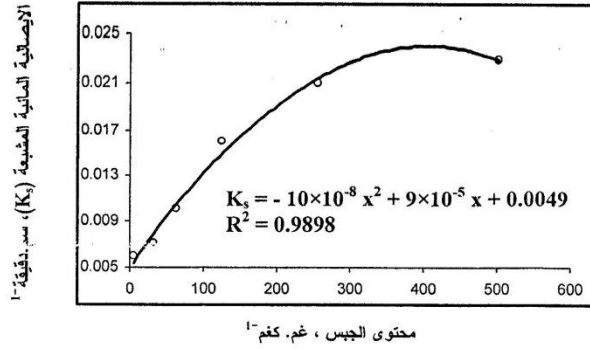
محتوى الجبس ، غم. كغم⁻¹

شكل 2. العلاقة بين محتوى الجبس في التربة والمسامية الكلية (f)

جملة من الأسباب منها، التغير الحاصل في التوزيع الحجمي لمفصولات التربة نتيجة تغير محتوى الجبس، إذ حصلت زيادة في نسبة الدقائق ذات حجم اكبر من 50 مايكرومتر، وانخفاض حاد في محتوى الطين مع زيادة محتوى الجبس في التربة (جدول 1 و 2)، فضلاً عن أن أحجام بلورات الجبس ودرجة تبلورها التي تختلف باختلاف محتوى الجبس في التربة (2)، والتي بدورها ستؤثر في التوزيع الحجمي لمسامات التربة بحيث تزداد نسبة المسامات الكبيرة الحجم مع زيادة نسبة الجبس (5 و 9 و 11)، وبالتالي حصول زيادة في

يبين شكل 3 اثر محتوى الجبس في الايصالية المائية المشبعة K_s للتربة. إذ زادت الايصالية المائية بزيادة محتوى الجبس في التربة، فقد ازدادت الايصالية المائية من 0.006 إلى 0.023 سم.دقيقة⁻¹ نتيجة زيادة محتوى الجبس من 5 إلى 502 غم جبس.كغم⁻¹ تربة ، أي أن التربة ذات المحتوى الجبسي 502 غم جبس.كغم⁻¹ تربة لها القدرة على توصيل الماء أكثر من تربة محتواها من الجبس 5 غم جبس.كغم⁻¹ تربة بمقدار أربع مرات تقريباً. إن السبب في زيادة الايصالية المائية مع زيادة محتوى الجبس قد تعزى إلى

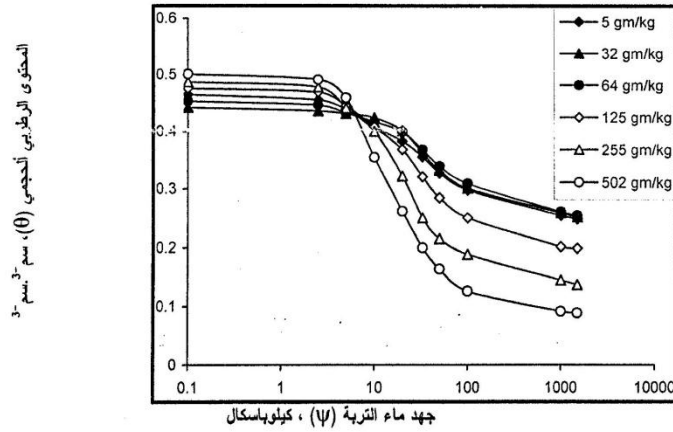
مساحة المقطع الناقل للماء الذي يؤدي إلى زيادة في الايصالية المائية للتربة (23).



شكل 3. العلاقة بين محتوى الجبس والايصالية المائية المشبعة (K_s) للتربة

أما الخط البياني فيمثل بيانات أفضل تطابق واعتبرت على أنها بيانات محسوبة. أظهر التحليل الإحصائي توافقاً جيداً بين القيم المقاسة والقيم المحسوبة، إذ كانت قيم معامل التحديد R^2 قيماً عالية المعنوية في حين أعطت قيم معدل المربعات المتبقية. $RMS\theta$ Residual mean square of θ فيمسا صغيرة ولجميع نماذج الترب الخاضعة للاختبار (جدول 3).

يبين شكل 4 منحنيات الوصف الرطوبي ، كعلاقة بين جهد ماء التربة ψ والمحتوى الرطوبي الحجمي θ لترب ذات محتوى جبسي مختلف . تم تمثيل بيانات العلاقة (ψ ضد θ) بتطبيق معادلة vanGenuchten (32) (معادلة 7) لإيجاد أفضل تطابق بين القيم المقاسة والقيم المحسوبة من المعادلة. فضلاً عن إيجاد ثوابت المعادلة، α و n و m و θ_0 و θ_s (جدول 3). تبين النقاط في الشكل البيانات التجريبية المقاسة،

شكل 4. العلاقة بين جهد ماء التربة (ψ) والمحتوى الرطوبي الحجمي (θ) لتربة ذات محتوى مختلف من الجبس.

جدول 3. قيم معايير معادلة van Genuchten (α و n و m) لمنحنيات الوصف الرطوبي وقيم المحتوى الرطوبي الحجمي المنبقي θ_r وعند الإشباع θ_s وقيم معايير أفضل تطابق (R^2 و $RMS\theta$) وقيم ميل منحنيات الوصف الرطوبي ($-\frac{d\theta}{d\psi}$) عند الجهد

المائي 10 كيلوباسكال

$-\frac{d\theta}{d\psi}$	R^2	$RMS\theta$ ($\text{cm}^3 \cdot \text{cm}^{-3/2}$)	$m = 1 - \frac{1}{n}$	n	α	θ_s	θ_r	محتوى الترب من الجبس (غم. كغم ⁻¹)
4.10×10^{-4}	0.9986**	1.25×10^{-5}	0.0193	1.0197	0.0032	0.465	0.249	5
2.75×10^{-4}	0.9976**	1.70×10^{-5}	0.4244	1.7372	0.0038	0.442	0.252	32
3.01×10^{-4}	0.9980**	1.43×10^{-5}	0.0694	1.0746	0.0018	0.453	0.255	64
6.09×10^{-4}	0.9988**	1.94×10^{-5}	0.2241	1.2888	0.0045	0.476	0.199	125
1.02×10^{-3}	0.9979**	5.19×10^{-5}	0.3982	1.6616	0.0076	0.487	0.137	255
1.63×10^{-3}	0.9992**	2.56×10^{-5}	0.5861	2.4162	0.0135	0.501	0.089	502

** معنوية عند مستوى 0.01 .

للترب، فقد تراوحت قيم θ_s بين 0.442 سم³ سم⁻³ للمعاملة 502 غم جبس، كغم⁻¹ تربة و 0.501 سم³ سم⁻³ للمعاملة 502 غم جبس، كغم⁻¹ تربة. إن السبب الذي أدى إلى زيادة θ_s بزيادة المحتوى الجبسي يعزى إلى اختلاف الكثافة الظاهرية لعينات الترب التي خضعت للاختبار (24)، إذ يلاحظ إن الكثافة الظاهرية للترب قد انخفضت مع زيادة محتوى الترب

أظهر الشكل تباين في منحنيات الوصف الرطوبي نتيجة اختلاف محتوى الترب من الجبس، وإن المحتوى الرطوبي الحجمي θ انخفض مع زيادة جهد الماء ψ ولجميع الترب. عند الجهد المائي 0.1 كيلوباسكال إذ أن المحتوى الرطوبي الحجمي يمثل حالة الإشباع θ_s . اختلفت قيم θ_s باختلاف المحتوى الجبسي، إذ زادت قيم θ_s مع زيادة المحتوى الجبسي

فقدت التربة كميات مختلفة من الماء، عند تغير جهد ماء التربة من 0,1 إلى 33 كيلوباسكال، وان المحتوى الرطوبي الحجمي θ الذي احتفظت به التربة عند الجهد 33 كيلوباسكال قد اختلف من معاملة إلى أخرى تبعاً لمحتوى التربة من الجبس، والذي حصل أن قيم θ قد انخفضت بزيادة محتوى الجبس، فقد كانت كمية الماء المحتفظ بها عند هذا الجهد للمعاملات 5 و 32 و 64 غم جبس. كغم⁻¹ تربة⁻¹، فد تراوحت بين 0.368 و 0.355 سم³. سم⁻³، أما المعاملات ذات المحتوى الجبسي 125 و 255 و 502 غم جبس. كغم⁻¹ تربة⁻¹ فقد كانت قيم θ 0.321 و 0.251 و 0.200 سم³. سم⁻³ على التتابع. إذ أن زيادة المحتوى الجبسي في التربة من 64 إلى 125 غم جبس. كغم⁻¹ تربة⁻¹ أدت إلى انخفاض المحتوى الرطوبي بنسبة 13%، وعند زيادة محتوى الجبس إلى 255 غم جبس. كغم⁻¹ تربة⁻¹ انخفض المحتوى الرطوبي بنسبة 22%، ومع استمرار زيادة محتوى الجبس إلى 502 غم جبس. كغم⁻¹ تربة⁻¹ انخفض المحتوى الرطوبي بنسبة 20%. إن المحتوى الرطوبي المحتفظ به في التربة عند الجهد المائي 33 كيلوباسكال يعتمد على التوزيع الحجمي لمسامات (19 و 24 و 30)، وان التربة ذات مسامات كبيرة macropores تفقد كمية من الماء أكثر من التربة ذات مسامات متوسطة الحجم mesopores ومسامات صغيرة الحجم micropores (12 و 34)، وهنا يلاحظ أن كمية الماء المحتفظ بها عند هذا الجهد المائي قد انخفضت مع زيادة محتوى التربة من الجبس وهذا قد يعزى إلى أن التوزيع الحجمي لدقائق التربة الذي يميل نحو التوزيع الخشن مع زيادة محتوى التربة من الجبس (جدول 2)، فضلاً عن أنه بزيادة محتوى الجبس تزداد أحجام بلورات الجبس، إذ أشارت الأبحاث أن حجم بلورات الجبس تزداد مع زيادة محتوى التربة من الجبس (2)، وهذا قد انعكس على التوزيع الحجمي لمسامات التربة بحيث تزداد نسبة المسامات الكبيرة الحجم مع زيادة محتوى الجبس (3 و 5 و 9 و 12).

أما في حالة تغير جهد ماء التربة إلى 1500 كيلوباسكال، فإن المحتوى الرطوبي الحجمي المتبقي θ_r كان مختلفاً أيضاً بين المعاملات وحصل انخفاض في قيم θ_r عند زيادة محتوى التربة من الجبس. يبين شكل 4 أن التربة ذات

من الجبس (شكل 1) والذي أدى إلى زيادة في المسامية الكلية للتربة (شكل 2) مما انعكس ذلك على الحالة الرطوبية للتربة عند الإشباع، وعليه أعطت التربة ذات المحتوى الجبسي 502 غم جبس. كغم⁻¹ تربة⁻¹ أعلى محتوى رطوبي حجمي ثم أتت من بعد ذلك التربة ذات المحتوى الجبسي 255 غم جبس. كغم⁻¹ تربة⁻¹، ومن بعدها التربة 125 غم جبس. كغم⁻¹ تربة⁻¹. أما التربة ذات المحتوى المنخفض من الجبس (5 و 32 و 64 غم جبس. كغم⁻¹ تربة⁻¹) فقد أظهرت تفاوت نسبي في قيم θ (جدول 3).

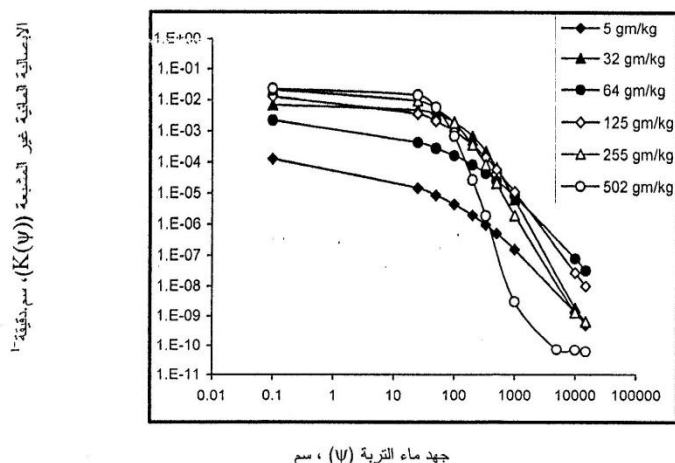
عند تغير جهد الماء من 0.1 كيلوباسكال إلى 8 كيلوباسكال حصل انخفاض نسبي بسيط في قيم θ ولجميع المعاملات، ثم تقاطعت المنحنيات وبشكل متقارب تقريباً عند الجهد 8 كيلوباسكال، إذ المحتوى الرطوبي الحجمي يساوي 0.417 سم³. سم⁻³. من بعد نقطة التقاطع وبزيادة الجهد المسلط اخذ المحتوى الرطوبي الحجمي للتربة بالانخفاض وكان الانخفاض للتربة ذات المحتوى العالي من الجبس (125 و 255 و 502 غم جبس. كغم⁻¹ تربة⁻¹) أكثر انحداراً من التربة ذات المحتوى المنخفض من الجبس (5 و 32 و 64 غم جبس. كغم⁻¹ تربة⁻¹)، إذ بلغ ميل انحدار منحنى الوصف الرطوبي $(-\frac{d\theta}{d\psi})$ عند الجهد المائي 10 كيلوباسكال للتربة التي محتواها 502 غم جبس. كغم⁻¹ تربة⁻¹ 1.63×10^{-3} ، بينما كان الميل عند نفس الجهد المائي للتربة التي محتواها 255 غم جبس. كغم⁻¹ تربة⁻¹ 1.02×10^{-3} والميل للتربة التي محتواها 125 غم جبس. كغم⁻¹ تربة⁻¹ 6.09×10^{-4} . أما المعاملات (5 و 32 و 64 غم جبس. كغم⁻¹ تربة⁻¹) فقد كان الميل منخفض مقارنة مع المعاملات الأخرى وبلغ تقريباً بين 4.10×10^{-4} و 2.75×10^{-4} (جدول 3). يتضح مما سبق أن التربة ذات المحتوى الجبسي العالي تفقد كميات مائية أكثر من التربة ذات المحتوى الجبسي المنخفض عند زيادة الجهد المائي المسلط على التربة (أكبر من 10 كيلوباسكال). وليكن معلوماً أن ميل منحنى الوصف الرطوبي يتغير مع تغير الجهود المائية المسلطة والى حين الوصول إلى أعلى جهد مسلط (1500 كيلوباسكال) إذ يقترب ميل المنحنيات من الصفر (6).

خطية سالبة المعلوبة. إن الاختلاف بين نتائج شهاب (8) و الخطيب (3) ونتائج هذه الدراسة قد يعزى إلى اختلاف مصدر الجبس المستعمل في الدراستين، أو بسبب اختلاف التراكيز المستعملة من الجبس في التحاليل المختبرية، أو بسبب اختلاف الطرائق المختبرية المتبعة في الدراستين.

يبين شكل 5 العلاقة بين جهد ماء التربة والاصالية المائية غير المشبعة كدالة فريدة للجهد $K(\psi)$ ، لترب ذات محتوى جبسي مختلف. يتضح من الشكل أن أعلى قيم $K(\psi)$ كانت عند أقل جهد مائي مسط (0.1 كيلوباسكال)، ثم انخفضت قيم $K(\psi)$ أسياً مع زياد جهد ماء التربة ولجميع المعاملات المدروسة. أظهرت المعاملات اختلافاً في قيم $K(\psi)$ وعند كل جهد مائي باختلاف محتوى التربة من الجبس، فعند جهد ماء 0.1 كيلوباسكال أعطت المعاملات 32 و 125 و 255 و 502 غم جبس. كغم⁻¹ تربة أعلى قيم $K(\psi)$ إذ تراوحت بين 6.96×10^{-3} و 2.29×10^{-2} سم. دقيقة⁻¹، ثم أتت من بعد ذلك المعاملة 64 غم جبس. كغم⁻¹ تربة إذ كانت قيمة $K(\psi)$ 2.25×10^{-3} سم. دقيقة⁻¹، وأعطت المعاملة 5 غم جبس. كغم⁻¹ تربة أقل قيمة لـ $K(\psi)$ إذ بلغت 1.29×10^{-4} سم. دقيقة⁻¹. باستمرار زيادة جهد ماء التربة انخفضت قيم $K(\psi)$ للمعاملات 32 و 125 و 255 و 502 غم جبس. كغم⁻¹ تربة بشدة في حين انخفضت قيم $K(\psi)$ بصورة انسيابية للمعاملتين 5 و 64 غم جبس. كغم⁻¹ تربة وصولاً إلى أعلى جهد مائي (1500 كيلوباسكال). عند هذا الجهد اختلفت قيم $K(\psi)$ أيضاً باختلاف المحتوى الجبسي في التربة، وقد كانت قيم $K(\psi)$ عند أدنى تقدير لها ولجميع المعاملات. إذ كانت قيم $K(\psi)$ للمعاملتين 64 و 125 غم جبس. كغم⁻¹ تربة، 3.21×10^{-8} و 9.88×10^{-9} سم. دقيقة⁻¹ على التتابع. ثم أتت من بعد ذلك المعاملات 5 و 32 و 255 غم جبس. كغم⁻¹ تربة لتعطي قيماً متقاربة من $K(\psi)$ إذ تراوحت بين 4.94×10^{-10} و 6.69×10^{-10} سم. دقيقة⁻¹. أما المعاملة 502 غم جبس. كغم⁻¹ تربة فقد أعطت أقل قيمة لـ $K(\psi)$ عند الجهد 1500 كيلوباسكال إذ كانت 6.36×10^{-11} سم. دقيقة⁻¹.

محتوى الجبس 5 و 32 و 64 غم جبس. كغم⁻¹ تربة أعطت قيم متقاربة من θ_r إذ تراوحت بين 0.249 و 0.255 سم³. سم⁻³، ولكن مع زيادة المحتوى الجبسي بدأت قيم θ_r تقل وبشكل معنوي (جدول 3). إذ أن زيادة محتوى الجبس من 64 إلى 125 غم جبس. كغم⁻¹ تربة ومن ثم إلى 255 غم جبس. كغم⁻¹ تربة وصولاً إلى 502 غم جبس. كغم⁻¹ تربة أدت إلى انخفاض θ_r بنسبة 22% و 31% و 35% على التتابع. إن كمية الماء الموجودة في التربة عند هذا الجهد تعتمد على التوزيع الحجمي لدقائق التربة وعلى المساحة السطحية النوعية، إذ أن قيم θ_r تزداد مع زيادة نعومة التوزيع الحجمي للدقائق وإن هذه الزيادة مرتبطة بزيادة المساحة السطحية النوعية لمفصولات التربة، كما أن طبيعة مسك الماء من قبل التربة تحت هذه الظروف تعتمد على خاصية الامتصاص وعليه فإن كمية الماء الممسوكة تزداد مع زيادة المساحة النوعية (19 و 24 و 30). تحت هذه الظروف الرطوبة ازدادت قيم θ_r بانخفاض محتوى التربة من الجبس بسبب زيادة نعومة نسجة التربة إذ ازدادت نسبة الطين في التربة (جدول 2) وبالتالي ازدادت المساحة السطحية مما أدى إلى زيادة في قيم θ_r .

من مدلولات منحني الوصف الرطوبي معرفة قابلية التربة على الاحتفاظ بالماء (θ_{33Kpa} - $\theta_{1500Kpa}$) وهو ما يسمى بالماء الجاهز. يتضح من شكل 4 أن قابلية التربة ذات المحتوى الجبسي المختلف على الاحتفاظ بالماء قد ازدادت مع زيادة محتوى التربة من الجبس ولحين الوصول إلى المعاملة 125 غم جبس. كغم⁻¹ تربة التي أعطت أعلى كمية ماء جاهز (0.122 سم³. سم⁻³)، ومن ثم أخذت كمية الماء الجاهز بالانخفاض مع زيادة محتوى التربة من الجبس. لقد جاءت هذه النتائج مختلفة مع كل من شهاب (8) و الخطيب (3). إذ حصل الأول على أعلى كمية ماء جاهز (0.156 سم³. سم⁻³) لتربة ذات نسبة جبس 25%. أما الباحث الثاني فقد حصل على زيادة في كمية الماء الجاهز مع انخفاض محتوى التربة من الجبس فقد كانت كمية الماء الممسوكة أكبر في التربة ذات المحتوى الجبسي الأقل (18.3 غم جبس. كغم⁻¹ تربة)، وارتبط المحتوى الجبسي مع كمية الماء الجاهز بعلاقة ارتباط



شكل 5. العلاقة بين جهد ماء التربة (ψ) والايصالية المائية غير المشبعة ($K(\psi)$) في تربة ذات محتوى مختلف من الجبس.

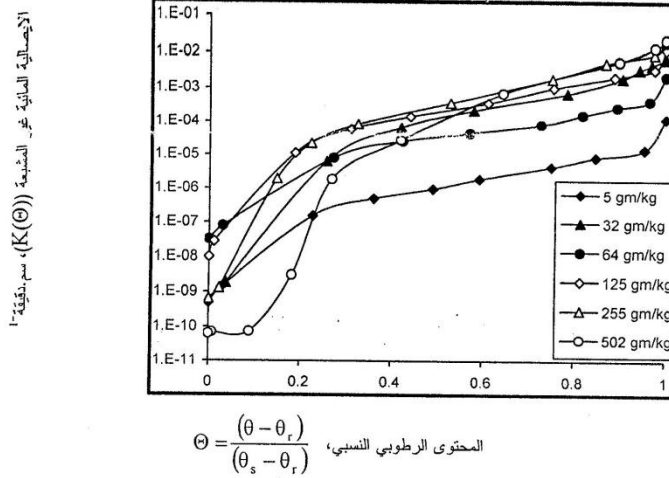
لزيادة توضيح سلوك الايصالية المائية غير المشبعة في تربة ذات محتوى مختلف من الجبس، رسمت قيم الايصالية المائية غير المشبعة مع المحتوى الرطوبي النسبي θ ، (معادلة 2). يبين الشكل 6 العلاقة بين المحتوى الرطوبي النسبي والايصالية المائية غير المشبعة كدالة فريدة للمحتوى الرطوبي النسبي $K(\theta)$. يتضح من الشكل أن أقل قيم $K(\theta)$ كانت عند أقل قيم θ ، ثم ازدادت قيم $K(\theta)$ أسياً مع زيادة المحتوى الرطوبي للتربة وتم الحصول على أعلى قيم $K(\theta)$ عند أعلى قيم θ . أظهرت المعاملات اختلافاً في قيم $K(\theta)$ عند كل قيمة من قيم θ باختلاف محتوى التربة من الجبس، فعند أدنى محتوى رطوبي ($\theta=0$) أعطت المعاملة 502 غم جبس.كغم⁻¹ تربة أقل قيمة لـ $K(\theta)$ ، في حين أعطت المعاملتان 125 و 64 غم جبس.كغم⁻¹ تربة أعلى قيمة لـ $K(\theta)$.

عند مدى المحتوى الرطوبي النسبي ($0.3 < \theta < 0.6$) والذي يناظر جهد مائي 33 كيلوباسكال، ازدادت قيم $K(\theta)$ بزيادة محتوى التربة من الجبس، إذ بلغت قيم $K(\theta)$ 9.71

عند أعلى محتوى رطوبي ($\theta=1$) أعطت المعاملات 502 و 255 و 125 و 32 غم جبس.كغم⁻¹ تربة أعلى قيم $K(\theta)$ على التتابع. من بعد ذلك جاءت المعاملة 64 غم جبس.كغم⁻¹ تربة. أما المعاملة 5 غم جبس.كغم⁻¹ تربة فقد أعطت أقل قيمة لـ $K(\theta)$.

عند أعلى محتوى رطوبي ($\theta=1$) أعطت المعاملتان 5 و 32 غم جبس.كغم⁻¹ تربة أعلى قيمة لـ $K(\theta)$ ، مما يعني أن الايصالية المائية غير المشبعة ازدادت بزيادة محتوى التربة من الجبس ضمن المدى الرطوبي ($0.3 < \theta < 0.6$) إذ كانت قيم $K(\theta)$ لهما تقعان بين قيم $K(\theta)$ الخاصة بالمعاملتين 5 و 32 غم جبس.كغم⁻¹ تربة.

عند أعلى محتوى رطوبي ($\theta=1$) أعطت المعاملات 502 و 255 و 125 و 32 غم جبس.كغم⁻¹ تربة أعلى قيم $K(\theta)$ على التتابع. من بعد ذلك جاءت المعاملة 64 غم جبس.كغم⁻¹ تربة. أما المعاملة 5 غم جبس.كغم⁻¹ تربة فقد أعطت أقل قيمة لـ $K(\theta)$.



شكل 6. العلاقة بين المحتوى الرطوبي النسبي (Θ) والإصالية المائية غير المشبعة ($K(\Theta)$) في تربة ذات محتوى مختلف من الجبس.

إلى اختزال واضح في مساحة مقطع جريان الماء وتبقى مجاميع المسامات متوسطة الحجم والصغيرة هي الموصلة للماء وهذا ما قد تتميز به هذه المعاملات. أما المعاملات 5 و 64 و 125 غم جبس.كغم⁻¹ تربة فقد أظهرت انخفاض نسبي في قيم $K(\Theta)$ ، وهذا قد يعزى إلى أن التوزيع الحجمي للمسامات هو توزيع متجانس نوعاً ما وأن المسامات الكبيرة التي فقد منها الماء قليلة وغير مؤثرة في قيم $K(\Theta)$ عند المدى الرطوبي ($0 < \Theta < 1$)، (3 و 8 و 12 و 23 و 27). تحت ظروف المحتوى الرطوبي المتبقي، إذ أن التربة قد تعرضت، إلى أعلى جهد مائي (1500 كيلوباسكال). حصل انخفاض شديد في قدرة التربة على نقل الماء. إذ فقدت المعاملات أغلب الماء الذي كان موجود فيها وأن مجموعة مسامات التربة الكبيرة والوسط تفرغت من محتواها المائي وبقيت مسامات التربة الصغيرة هي التي تعمل على نقل الماء. فضلاً عن كمية الماء الممدصة على سطوح دقائق التربة التي تتحرك أيضاً وتنتقل بطريقة الانتشار، وأن انتشار الماء يزداد بزيادة المحتوى الرطوبي للتربة وهذا مرتبط بالمساحة السطحية النوعية لدقائق التربة، لذلك أظهرت المعاملات ذات التوزيع الحجمي لدقائق من النوع الخشن

إن زيادة قدرة التربة على توصيل الماء عند مستويات المحتوى الرطوبي العالي ($\Theta=1$)، إذ أن جهد ماء التربة عند أدنى قيمة له (0.1 كيلوباسكال)، يمكن أن تعزى إلى أن جميع مساحة مقطع جريان الماء يساهم في نقل الماء وأن التربة التي تمتلك توزيع حجمي للمسامات من النوع الكبير فإنها تنقل كمية ماء أكبر وأسرع عبر مجموعة مسامات التربة الكبيرة، وبما أن معاملات التربة التي يكون فيها التوزيع الحجمي لدقائق من النوع الخشن هي في نفس الوقت محتواها من الجبس عالي (جدول 2)، فإن من المتوقع أن تمتلك هذه المعاملات توزيع حجمي للمسامات من النوع الكبير، لذلك، ازدادت قابلية هذه المعاملات على نقل الماء تحت ظروف الإشباع بزيادة محتوى الترب من الجبس (3 و 12 و 23 و 34).

عند انخفاض المحتوى الرطوبي للتربة بزيادة الجهد المائي المسلط عليها، انخفضت قدرة التربة على نقل الماء ولجميع المعاملات وكان أكثر وضوحاً في المعاملات 32 و 255 و 502 غم جبس.كغم⁻¹ تربة. إن أسباب ذلك قد تعزى إلى تفرغ بعض مسامات التربة من محتواها المائي، وبما أن المسامات كبيرة الحجم هي التي تفرغ أولاً فإن ذلك يؤدي

- البحث العلمي، علوم التربة-القسم الأول/7-11 تشرين الأول-1989 - بغداد- العراق. ص 13-24 .
- 3- الخطيب، بسام الدين الخطيب هشام، 2007. تأثير المحتوى الجبسي ونوعية المياه في دوال نقل الماء. أطروحة دكتوراه - قسم علوم التربة والمياه - كلية الزراعة - جامعة الانبار. ع ص 156.
- 4- القرني، عباس حميد ذياب. 2005. أنتحيزل أنتجيريبي لمعايير معادلة Green and Ampt لبعض المياه في تربة مختلفة النسجة. رسالة ماجستير. قسم علوم التربة والمياه. كلية الزراعة-جامعة بغداد. ع ص 103.
- 5- بهيه، محمد حسن صبري. 1998. تأثير زيت الوقود في بعض الصفات الفيزيائية وعلاقته بشكل التلور ونعومة دقائق الجبس في التربة الجبسية. رسالة ماجستير. قسم التربة. كلية الزراعة-جامعة بغداد. ع ص 61.
- 6- حسن، قتيبة محمد. 1989. اختبار نماذج رياضية للتنبؤ عن بعض الصفات المائية للتربة العراقية. 3. إيصالية ماء التربة في الحالة غير المشبعة. مجلة العلوم الزراعية العراقية. 20(1):580-590.
- 7- سليمان، معتصم داود و علاء صالح الجنابي و هشام محمود حسن. 1990. دراسة الخواص المائية لبعض التربة الجبسية في العراق. مجلة زراعة الرفادين. 22(1):147-161.
- 8- شهاب، زمزي محمد. 1997. أثر إضافة زيت الوقود والبنيتونايت في بعض الخصائص الفيزيائية وانتقال الماء والمذاب في تربة جبسية. أطروحة دكتوراه. قسم التربة. كلية الزراعة-جامعة بغداد. ع ص 117.
- 9- غيبة، عبد الرحمن. 1990. الخواص الفيزيائية للأراضي الجبسية. مداوات الدورة التدريبية في استصلاح وإدارة الأراضي الجبسية. أكساد. ع ص 171
- 10- مهدي، نيمر طه . 2002. تقويم دوال نقل الماء في تربة معالجة بزيت الوقود. أطروحة دكتوراه - قسم التربة - كلية الزراعة - جامعة بغداد. ع ص 141.
- 11- مهدي، نيمر طه . 2005. تأثير محتوى الجبس في دوال نقل الماء في التربة خلال الغيض الأفقي. مجلة العلوم الزراعية العراقية. 36(5):1-10.

قدرة أقل على توصيل الماء، وهي المعاملات ذات محتوى عالي من الجبس إذ انخفضت فيها نسبة الدقائق ذات الحجم أقل من 50 مايكرون (جدول 2)، (3 و 12).

لقد جاءت هذه النتائج متوافقة مع كل من سليمان وآخرون (7) و شهاب (8) و الخطيب (3) ، إذ حصلوا على زيادة في الإيصالية المائية غير المشبعة مع زيادة المحتوى الرطوبي للتربة ومع زيادة محتوى التربة من الجبس، على الرغم من أن الطريقة المتبعة في حساب $K(\psi)$ و $K(\theta)$ في هذه الدراسة قد اختلفت عن الطريقة المتبعة من قبل الباحثين أعلاه، إذ قاموا بحساب الإيصالية المائية غير المشبعة من قيم انتشارية ماء التربة وميل منحني الوصف الرطوبي. وقد أكد الباحثون أن دقة حساب قيم $K(\psi)$ و $K(\theta)$ تعتمد على دقة قياس ميل منحني الوصف الرطوبي عند كل جهد مائي مسط على التربة. أما في هذه الدراسة فإن دقة حساب قيم $K(\psi)$ و $K(\theta)$ تعتمد على دقة عمل منحني الوصف الرطوبي، ودقة اجراء المطابقة عند استعمال معادلة van Genuchten (32) لوصف المنحني بيانياً، ومن ثم دقة معايير المعادلة (α) و n و m المستحصل عليها ولكل معاملة من معاملات التجريب، وهذا ما أكدته كل من حسن (6) و مهدي وآخرون (12).

يستنتج من هذه الدراسة أن كمية الماء المفقودة وكمية الماء المحتفظ بها في التربة قد اختلفت باختلاف الجهد المائي المسلط وباختلاف محتوى التربة من الجبس. مما انعكس لاحقاً في حساب الإيصالية المائية غير المشبعة، إذ ازدادت قابلية التربة على نقل الماء بزيادة المحتوى الجبسي عند مستويات المحتوى الرطوبي العالي، في حين انخفضت قابلية التربة على نقل الماء بزيادة المحتوى الجبسي عند مستويات المحتوى الرطوبي المنخفض.

المصادر

- 1- الجبوري، محمد حسين سلمان. 1997. تأثير محتوى الجبس في الرص وفي بعض الصفات الفيزيائية للتربة. رسالة ماجستير. قسم التربة. كلية الزراعة-جامعة بغداد. ع ص 78.
- 2- الجنابي، علاء صالح ومعتصم داود اغا وهشام محمود حسن. 1989. الخصائص الفيزيائية لبعض التربة الجبسية في العراق. وقائع بحوث المؤتمر العلمي الخامس لمجلس

- high sand content root zone materials. *Soil Sci.* 170: 315-324.
- 24- Hillel, D. 1980. *Fundamentals of Soil Physics*. Academic Press. New York. pp. 385.
- 25- Jackson, R. D. 1972. On the calculation of hydraulic conductivity. *Soil Sci. Soc. Am. Proc.* 36: 380-383.
- 26- Klute, A. and C. Dirksen. 1986. Hydraulic conductivity and diffusivity: Laboratory methods. In A. Klute (ed.). *Methods of Soil Analysis, Part 1, 2nd edn. Agron. Monogr. No. 9*. ASA and SSSA. Madison, WI. p. 687-734.
- 27- Meek, B. D., E. R. Rechel, L. M. Carter, W. R. Detar, and A. L. Urie. 1992. Infiltration rate of a sandy loam soil: Effects of traffic, tillage and plant roots. *Soil Sci. Soc. Am. J.* 56: 908-913.
- 28- Lu, D., M. Shao., R. Horton. And C. Liu. 2004. Effect of changing bulk density during water desorption measurement on soil hydraulic properties. *Soil Sci.* 169: 319-329.
- 29- Mualem, Y. 1976. A new model for predicting the hydraulic conductivity of unsaturated porous media. *Water Resour. Res.* 12: 513-522.
- 30- Startsev, A. D. and D. H. McNabb. 2001. Skidder traffic effects on water retention, pore-size distribution, and van Genuchten parameters of boreal forest soils. *Soil Sci. Soc. Am. J.* 65: 224-231.
- 31- U. S. Salinity laboratory staff. 1954. *Diagnosis and improvement of saline and alkali soils*. USDA. Handbook No, 60, Washington, D. C. pp. 160.
- 32- van Genuchten, M. Th. 1980. A closed-form equation for predicting the hydraulic conductivity of unsaturated soils. *Soil Sci. Soc. Am. J.* 44: 892-898.
- 33- Wang, X. and C. H. Benson. 2004. Leak-free pressure plate extractor for measuring the soil water characteristic curve. *Geotechnical Testing, J.* 27: 1-10.
- 34- Wilson, G. V., P. M. Jardine, and J. P. Gwo. 1992. Modeling the hydraulic properties of a multiregion soil. *Soil Sci. Soc. Am. J.* 56: 1731-1737.
- 35- Zhuang, J., Y. Jin, and T. Miyazaki. 2001. Estimating water retention characteristic from soil particle-size distribution using a non-similar media concept. *Soil Sci.* 166: 308-321.
- 12- مهدي، نمر طه و مهدي إبراهيم عودة و عباس حميد ذياب. 2006. حساب الايصالية المائية غير المشبعة من منحني الترطيب للارتفاع الشعري في ثلاث ترب مختلفة النسجة. *المجلة العراقية لعلوم التربة*. 6(1): 1-10.
- 13- Al Ani, A. N. and M. Dudas. 1988. Influence of calcium carbonate on mean weight diameter of soils. *Soil and Tillage Research*. 11: 19-26.
- 14- Arya, L. M., D. A. Ferrell, and G. R. Blake. 1975. A field study of soil water depletion patterns in presence of growing soybean roots: 1. Determination of hydraulic properties of soil. *Soil Sci. Am. Proc.* 39: 424-430.
- 15- Blake, B. R. and K. H. Hartge. 1986a. Bulk density. In A. Klute (ed.). *Methods of Soil Analysis, Part 1, 2nd edn. Agron. Monogr. No. 9*. ASA and SSSA. Madison, WI. p. 363-375.
- 16- Blake, B. R. and K. H. Hartge. 1986b. Particle density. In A. Klute (ed.). *Methods of Soil Analysis, Part 1, 2nd edn. Agron. Monogr. No. 9*. ASA and SSSA. Madison, WI. p. 377-382.
- 17- Bruce, R.R., and A. Klute, 1956. The measurement of soil moisture diffusivity. *Soil Sci. Soc. Am. Proc.* 20: 458-462.
- 18- Chan, T. P. and R. S. Govindaraju. 2004. Estimating soil water retention curve from particle-size distribution data based on polydisperse sphere systems. *Vadose Zone J.* 3: 1443-1454.
- 19- Chan, T. P. 2005. Modeling of coarse textured soils and their hydraulic properties. Ph.D. Thesis. Purdue University. pp. 177.
- 20- Dane, J. H. and G. C. Topp. (ed.). 2002. *Methods of soil analysis: Part 4*. SSSA Book Ser. 5. SSSA. Madison. WI. p. 675-720.
- 21- Day, P.R. 1965. Particle fractionation and particle size analysis. In C.A. Black (ed.). *Methods of Soil Analysis Part 1, Agron. Ser. No. 9*, Am. Soc. Agron: Madison, WI. p. 545-567.
- 22- Fredlund, D. G. and A. Xing. 1994. Equations for the soil-water characteristic curve. *Canadian Geotechnical Journal*. 31(3): 521-532.
- 23- Henderson, J. J., J. R. Crum., T. F. Wolff. and J. N. Rogers. 2005. Effects of particle size distribution and water content at compaction on saturated hydraulic conductivity and strength of